

# PENGARUH PENAMBAHAN SERBUK $\text{Al}_2\text{O}_3$ DAN $\text{Na}_2\text{CO}_3$ PADA KARAKTER TERMAL PREKUSOR $\text{Li}_4\text{Ti}_5\text{O}_{12}$

Slamet Priyono<sup>1\*)</sup>, Bambang Prihandoko<sup>1</sup>

<sup>1</sup>Pusat Penelitian Fisika-LIPI, Komplek Puspiptek Gedung 442,Serpong, Tangerang Selatan, Banten 15314

\*) Email: slam013@lipi.go.id

## Abstrak

Telah dilakukan study tentang pengaruh serbuk  $\text{Al}_2\text{O}_3$  dan  $\text{Na}_2\text{CO}_3$  pada karakteristik termal precursor  $\text{Li}_4\text{Ti}_5\text{O}_{12}$ .  $\text{Li}_4\text{Ti}_5\text{O}_{12}$  disintesis dengan menggunakan campuran bahan baku  $\text{Li}_2\text{CO}_3$  dan  $\text{TiO}_2$  melalui metode padatan pada suhu kalsinasi umumnya  $700^\circ\text{C}$ . Penambahan sedikit material lain akan berdampak pada karakteristik material terutama pada sifat termal. Penelitian terdiri dari dua variasi yaitu, serbuk  $\text{Al}_2\text{O}_3$  ditambahkan pada campuran  $\text{Li}_2\text{CO}_3/\text{TiO}_2$  dan variasi kedua adalah serbuk  $\text{Al}_2\text{O}_3$  dan  $\text{Na}_2\text{CO}_3$  ditambahkan pada campuran  $\text{Li}_2\text{CO}_3/\text{TiO}_2$  kemudian dianalisa termal dengan simulthaneous Thermal Analysis (STA). Pengukuran sifat termal meliputi suhu dekomposisi, entalpi, dan penentuan suhu kalsinasi. Hasil pengukuran menunjukkan bahwa penambahan  $\text{Al}_2\text{O}_3$  pada prekusor  $\text{Li}_4\text{Ti}_5\text{O}_{12}$  memberikan temperature dekomposisi sebesar  $659^\circ\text{C}$ , entalpi sebesar  $5,675 \text{ kJ/g}$  dan suhu kalsinasi sekitar  $750^\circ\text{C}$ . Sedangkan penambahan  $\text{Al}_2\text{O}_3$  dan  $\text{Na}_2\text{CO}_3$  pada prekusor  $\text{Li}_4\text{Ti}_5\text{O}_{12}$  memberikan temperature dekomposisi sebesar  $560^\circ\text{C}$ , entalpi sebesar  $5,672 \text{ kJ/g}$  dan suhu kalsinasi sekitar  $680^\circ\text{C}$ . Penambahan serbuk  $\text{Al}_2\text{O}_3$  menunjukkan kenaikan energy yang dibutuhkan untuk proses sintesis sedangkan penambahan serbuk  $\text{Na}_2\text{CO}_3$  menunjukkan penurunan energi yang dibutuhkan untuk proses sintesis.

**Kata kunci:** sifat termal  $\text{Al}_2\text{O}_3$ , STA,  $\text{Na}_2\text{CO}_3$ ,  $\text{Li}_4\text{Ti}_5\text{O}_{12}$

## Abstract

Study on the effect of adding  $\text{Al}_2\text{O}_3$  and  $\text{Na}_2\text{CO}_3$  powder on thermal characteristic of  $\text{Li}_4\text{Ti}_5\text{O}_{12}$  precursor have been done.  $\text{Li}_4\text{Ti}_5\text{O}_{12}$  synthesized by using a mixture of  $\text{Li}_2\text{CO}_3$  and  $\text{TiO}_2$  as raw materials through solid state method with calcination at  $700^\circ\text{C}$ . The addition of a bit of the other material will affect the characteristics of the material, especially on the thermal properties. The study consisted of two variations, namely,  $\text{Al}_2\text{O}_3$  powder was added to the mixture of  $\text{Li}_2\text{CO}_3/\text{TiO}_2$  and the second variation is  $\text{Al}_2\text{O}_3$  powder and  $\text{Na}_2\text{CO}_3$  was added to the mixture of  $\text{Li}_2\text{CO}_3/\text{TiO}_2$  and then analyzed by Simultaneous Thermal Analysis (STA). Measurement of thermal properties include the decomposition temperature, enthalpy, and the determination of the calcination temperature. The measurement results showed that the addition of  $\text{Al}_2\text{O}_3$  in the precursor decomposition temperature of  $\text{Li}_4\text{Ti}_5\text{O}_{12}$  provide  $659^\circ\text{C}$ , the enthalpy of  $5.675 \text{ kJ/g}$  and a calcination temperature of about  $750^\circ\text{C}$ . While the addition of  $\text{Al}_2\text{O}_3$  and  $\text{Na}_2\text{CO}_3$  on  $\text{Li}_4\text{Ti}_5\text{O}_{12}$  precursor gave decomposition temperature of  $560^\circ\text{C}$ , the enthalpy of  $5.672 \text{ kJ/g}$  and a calcination temperature of about  $680^\circ\text{C}$ . The addition of  $\text{Al}_2\text{O}_3$  powder showed an increase of energy required for the synthesis while the addition of  $\text{Na}_2\text{CO}_3$  powder showed a decrease in the energy required for the synthesis process.

**Keywords:** thermal properties of  $\text{Al}_2\text{O}_3$ , STA,  $\text{Na}_2\text{CO}_3$ ,  $\text{Li}_4\text{Ti}_5\text{O}_{12}$

## 1. Pendahuluan

Material LTO merupakan material anoda baterai lithium yang sangat cocok digunakan untuk baterai mobil listrik karena tahan pada suhu tinggi, tidak menimbulkan adanya solid state interphase dan tidak menimbulkan dendrite lithium yang merusak separator baterai sehingga dikatakan memiliki tingkat keamanan yang sangat baik untuk laju charge-discharge yang tinggi [1]. Namun pada kenyataannya LTO perlu

didoping dengan atom Al [2-3] dan Na [4-5] untuk meningkatkan reversibilitas dan menurunkan tegangan operasi yang terlalu tinggi. Pada penelitian LTO yang disintesis dari bahan baku seperti  $\text{Li}_2\text{CO}_3$  dan  $\text{TiO}_2$  umumnya suhu kalsinasi adalah  $700^\circ\text{C}$ [6]. Untuk menambahkan doping atom Al dan Na digunakan raw material seperti  $\text{Al}_2\text{O}_3$  dan  $\text{Na}_2\text{CO}_3$ , penambahan material lain akan mempengaruhi karakteristik material salah satunya adalah karakteristik thermal bahan[7]. Dalam penelitian ini difokuskan pada mempelajari

penambahan  $\text{Al}_2\text{O}_3$  dan  $\text{Na}_2\text{CO}_3$  pada karakteristik termal material  $\text{Li}_4\text{Ti}_5\text{O}_{12}$ .

Karakteristik termal sering digunakan untuk menjelaskan teknik eksperimen analitik yang menyelidiki perilaku sampel sebagai fungsi temperature. Kegunaan analisa termal adalah untuk mengkarakterisasi, secara kuantitatif dan kualitatif sifat berbagai macam material pada range temperature tertentu. Apabila material dipanaskan dengan laju pemanasan tetap maka akan terjadi perubahan kimia, seperti oksidasi dan degradasi, dan/atau perubahan fisika, seperti transisi gelas pada polimer, konversi/inversi pada keramik dan perubahan fasa pada logam. Analisis termal digunakan sebagai pelengkap analisis difarksi sinar-X. Mikroskopi optic dan electron digunakan untuk pengembangan material baru dan untuk pengendalian produksi, kadang-kadang digunakan untuk menetapkan perubahan temperature dan energy berkaitan dengan perubahan structural,pada kesempatan lain digunakan secara kualitatif untuk menentukan jejak sidik jari karakteristik material tertentu. Berbagai teknik analisis termal digunakan untuk mengukur satu atau lebih sifat fisik sampel sebagai fungsi temperature. Ada tiga metode dasar analisis termal, yaitu analisis termogravimetrik (thermogravimetric analysis, TGA), analisis termal diferensial (differential thermal analysis, DTA) dan kalorimetri scan diferensial (differential scanning calorimetry, DSC). TGA mengukur perubahan massa dan (DTA, DSC) mengukur perubahan aliran energy. Pada metode tersebut dapat dilakukan pemanasan dan pendinginan terprogram, akan tetapi umumnya operasi dilakukan dengan menaikkan temperature secara berlahan-lahan. Ruang sampel dapat mengandung udara, oksigen, nitrogen, argon dan lain-lain atau vakum[8-9].

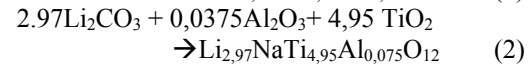
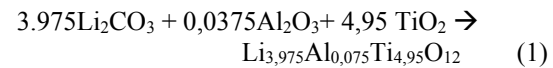
Pada analisis termogravimetrik (TGA) didalam termobalans, massa sampel ditentukan dan direkam secara terus-menerus ketika sampel dipanaskan secara berlahan-lahan, dengan temperatur mencapai sedikitnya 1000°C. Analisis ini telah diterapkan untuk meneliti dekomposisi karet, penelitian kinetika oksidasi metalik, transisi gelas dan pelunakan polimer. Sampel tidak mencapai keadaan kesetimbangan dan metode ini tidak peka terhadap perubahan keadaaan padat yang lebih halus. Apabila perubahan saling tumpang tindih, ada gunanya untuk menggambarkan turunan pertama,  $dm/dt$  dari jejak grafik pada prosedur yang dikenal sebagai analisis termogravimetrik derivative (DTGA)[8].

Analisis termal diferensial (DTA) menampilkan perubahan yang terjadi selama pemanasan sampel yang meliputi pelepasan atau absorpsi energy, sampel S dan material pembanding R yang inert secara kimiawi dan termal (alumina sinter atau silica yang diendapkan) ditempatkan dalam blok pemanas dan dipanaskan secara perlahan-lahan.

Termokopel di S dan R dihubungkan berlawanan; dan perbedaan temperature antartermokopel diperkuat dan digambarkan terhadap temperature. Daerah puncak pada rekaman ini merupakan fungsi perubahan entalphi ( $H$ ) dan karakteristik massa dan termal dari sampel S. untuk memperoleh puncak yang lebih tajam dan sempit digunakan sampel yang kecil dengan syarat bahwa sampel tersebut betul-betul mewakili material. Secara ideal, kapasitas panas spesifik dari S dan R seharusnya sama. DTA umumnya dianggap sebagai metode semi-kuantitatif atau metode kualitatif [8-9].

## 2. Metode Penelitian

Proses pembuatan precursor  $\text{Li}_4\text{Ti}_5\text{O}_{12}$  yang dicampur dengan alumina dan sodium dilakukan dengan reaksi padatan antara serbuk  $\text{Li}_2\text{CO}_3$  (Sigma Aldrich), dengan serbuk  $\text{TiO}_2$ (Sigma Aldrich),  $\text{Al}_2\text{O}_3$  (Sigma Aldrich), dan  $\text{Na}_2\text{CO}_3$  (Sigma Aldrich), masing-masing menurut persamaan :

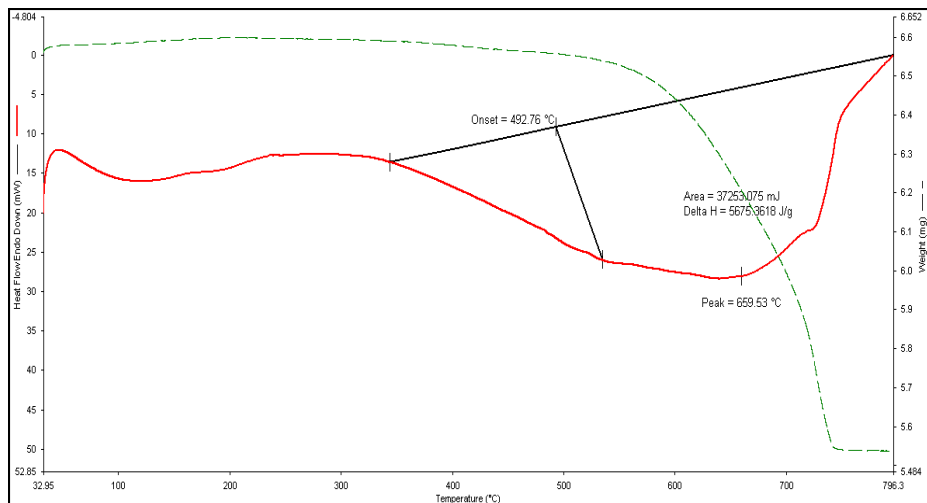


Berdasarkan persamaan (1) maka untuk membuat prekusor  $\text{Li}_4\text{Ti}_5\text{O}_{12}$  yang dicampur dengan alumina diperlukan 3,20 gram  $\text{Li}_2\text{CO}_3$  dan 8,62 gram  $\text{TiO}_2$  dan  $\text{Al}_2\text{O}_3$  sebanyak 0,08 gram. Sedangkan berdasarkan persamaan (2) untuk membuat  $\text{Li}_4\text{Ti}_5\text{O}_{12}$  yang dicampur dengan alumina dan sodium diperlukan  $\text{Li}_2\text{CO}_3$  sebanyak 2,32 gram dan  $\text{TiO}_2$  sebanyak 8,33 gram serta 0,08 gram  $\text{Al}_2\text{O}_3$  dan juga 1.11 gram  $\text{Na}_2\text{CO}_3$ . Serbuk bahan baku dicampur dan diaduk dalam baker glass hingga merata dan didapatkan prekusor  $\text{Li}_4\text{Ti}_5\text{O}_{12}$  yang dicampur dengan Alumina dan sodium. Pengujian karakteristik sifat termal dilakukan dengan simultaneous thermal analysis Parkin Elmer STA 6000 rentang suhu 25-800°C, kecepatan pemanasan 10 °C/menit dan aliran gas argon 20 ml/menit serta dengan standart pengukuran ASTM E 967.

## 3. Hasil dan Pembahasan

Karakterisasi sifat termal digunakan untuk mengetahui jumlah energi panas yang digunakan dan untuk mengetahui berapa suhu yang harus digunakan untuk proses sintesis. Dari grafik DTA/TG dapat diketahui kapan terjadinya proses dekomposisi organik, proses kristalisasi dan proses pengurangan beban paling cepat.

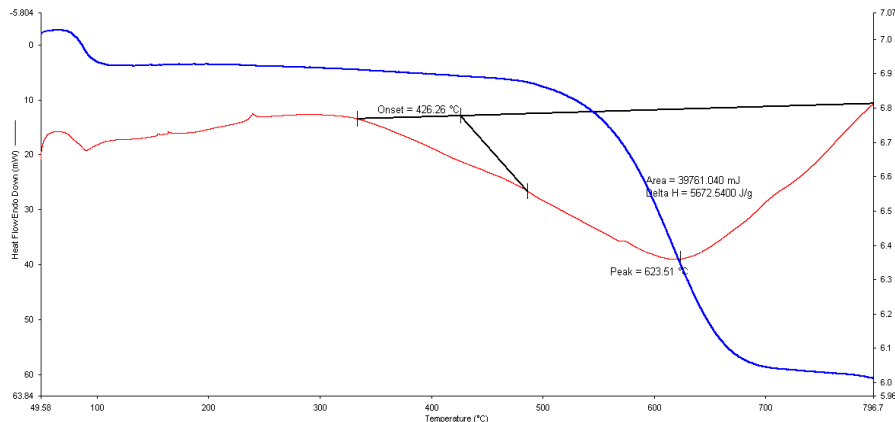
Gambar 1 merupakan Grafik DTA-TGA dari serbuk  $\text{Li}_4\text{Ti}_5\text{O}_{12}$  yang didoping atom Al 0,075 yang terdiri atas campuran material mentah seperti  $\text{Li}_2\text{CO}_3$ ,  $\text{TiO}_2$  dan  $\text{Al}_2\text{O}_3$ . Pada grafik DTA di rentang suhu 50-250 °C berupa grafik melengkung kebawah dengan



**Gambar 1.** Grafik DTA/TG bahan prekursor  $\text{Li}_4\text{Ti}_5\text{O}_{12}$  yang didoping atom Al 0,075

peak disuhu sekitar  $150^\circ\text{C}$  yang merupakan reaksi endotermik (membutuhkan panas). Peak ini merupakan proses dekomposisi atau pelepasan unsur-unsur organik seperti  $\text{CO}_2$  dan uap air yang terkandung di dalam material mentah dan terjadi pembentukan phasa  $\text{Li}_4\text{Ti}_5\text{O}_{12}$  mentah. Sedangkan pada grafik TGA pada range suhu  $50$ - $250^\circ\text{C}$  tidak terjadi perubahan atau penurunan berat karena massa unsur-unsur organik ini

dekomposisi pada  $660^\circ\text{C}$ , pada suhu  $750^\circ\text{C}$  tidak terjadi penurunan berat lagi sehingga dapat dikatakan sudah stabil (tidak terjadi reaksi kimia lagi). Entalpi  $5,675 \text{ kJ/gram}$  merupakan energi total yang diperlukan untuk kristalisasi membentuk  $\text{Li}_4\text{Ti}_5\text{O}_{12}$  sebesar 1 gram. Sehingga suhu untuk kalsinasi pada proses sintesis serbuk  $\text{Li}_4\text{Ti}_5\text{O}_{12}$  dengan doping atom Al adalah pada suhu  $750^\circ\text{C}$ .



**Gambar 2.** Grafik DTA/TG bahan prekursor  $\text{Li}_4\text{Ti}_5\text{O}_{12}$  yang didoping atom Na dan Al 0,075

sangat kecil (ringan). Pada grafik DTA di rentang suhu  $350$ - $800^\circ\text{C}$  berupa grafik melengkung kebawah dengan peak suhu disekitar  $660^\circ\text{C}$  yang merupakan reaksi endotermik. Peak ini merupakan proses perubahan phasa, pembentukan kristalinitas  $\text{Li}_4\text{Ti}_5\text{O}_{12}$  dan pemadatan dimana terjadi proses necking antar butiran.

Sedangkan pada grafik TGA pada rentang  $350$ - $800^\circ\text{C}$  baru terlihat kehilangan berat secara signifikan mulai dari  $550^\circ\text{C}$  hingga  $750^\circ\text{C}$  dengan suhu

Grafik pada Gambar 2 merupakan grafik DTA/TGA dari serbuk  $\text{Li}_4\text{Ti}_5\text{O}_{12}$  yang didoping atom Na dan Al yang terdiri atas campuran material mentah seperti  $\text{Li}_2\text{CO}_3$ ,  $\text{TiO}_2$ ,  $\text{Al}_2\text{O}_3$  dan  $\text{Na}_2\text{CO}_3$ . Pada grafik DTA di rentang suhu  $60$ - $110^\circ\text{C}$  berupa grafik melengkung kebawah dengan peak disuhu sekitar  $90^\circ\text{C}$  yang merupakan reaksi endotermik (membutuhkan panas). Peak ini merupakan proses dekomposisi atau

pelepasan unsur-unsur organik seperti  $\text{CO}_2$  dan uap air yang terkandung di dalam material mentah.

Jika dibandingkan dengan grafik DTA/TGA pada gambar sebelumnya, maka akan terjadi perubahan signifikan karena adanya penambahan  $\text{Na}_2\text{CO}_3$ . Adanya  $\text{Na}_2\text{CO}_3$  menyebabkan proses dekomposisi terjadi pada suhu yang lebih rendah. Sedangkan pada grafik TGA pada range suhu 60-110°C terjadi perubahan atau penurunan berat yang cukup signifikan (10%) jika dibandingkan dengan TGA sebelumnya pada renge ini. Perubahan berat yang lebih signifikan ini merupakan perubahan berat yang didominasi dari dekomposisi  $\text{Na}_2\text{CO}_3$  yang melepaskan  $\text{CO}_2$  karena dekomposisi  $\text{Na}_2\text{CO}_3$  terjadi pada suhu rendah yaitu 32°C[84]. Pada grafik DTA di rentang suhu 350-800 °C berupa grafik melengkung kebawah dengan peak suhu disekitar 623°C yang merupakan reaksi endotermik. Peak ini merupakan proses perubahan phasa dan pembentukan kristalinitas  $\text{Li}_4\text{Ti}_5\text{O}_{12}$  dimana terjadi proses *necking* antar butiran. Peak ini bergeser lebih rendah daripada tanpa  $\text{Na}_2\text{CO}_3$ , yang menunjukkan bahwa penambahan  $\text{Na}_2\text{CO}_3$  menyebabkan suhu yang diperlukan untuk kalsinasi lebih rendah. Sedangkan pada grafik TGA pada rentang 350-800 °C baru terlihat kehilangan berat secara signifikan (90%) mulai dari 500°C hingga 680°C, pada suhu 680°C tidak terjadi penurunan berat lagi sehingga dapat dikatakan sudah stabil (tidak terjadi reaksi kimia lagi). Entalpi 5,672 kJ/gram menunjukkan energi yang diperlukan untuk proses reaksi kalsinasi. Jumlah energi yang diperlukan hampir sama dengan jumlah energi yang diperlukan untuk proses sintesis  $\text{Li}_4\text{Ti}_5\text{O}_{12}$  doping Al. Sehingga suhu untuk kalsinasi pada proses sintesis serbuk  $\text{Li}_4\text{Ti}_5\text{O}_{12}$  dengan doping Al dan Na adalah pada suhu 680°C.

#### 4. Kesimpulan

Penambahan alumina dan sodium pada prekusor  $\text{Li}_4\text{Ti}_5\text{O}_{12}$  memberikan pengaruh yang cukup signifikan pada temperature proses yang harus digunakan. Penambahan alumina menyebabkan suhu kalsinasi meningkat menjadi 750°C karena sifat termal serbuk alumina yang memiliki melting point tinggi sedangkan penambahan Alumina dan sodium karbonat menyebabkan penurunan suhu kalsinasi karena serbuk sodium karbonat yang memiliki titik dekomposisi dan melting point yang rendah.

#### Daftar Pustaka

- [1]. Jia. Z., Zhou. Q., Li. X., Fu. Y., Ming. H., Zheng. J., Effect of rigidity of porous structure on electrochemical behavior of pristine  $\text{Li}_4\text{Ti}_5\text{O}_{12}$  microspheres, *Electrochimica Acta* 156 (2015) 216-222

- [2]. Park. J.S., Baek. J.S., Jeong. Y.I., Noh. B.Y., Kim. J.H., Effect of a dopant on the electrochemical properties of  $\text{Li}_4\text{Ti}_5\text{O}_{12}$  as a lithium-ion battery anode material, *Journal of Power Sources* xxx(2013) 1-5
- [3]. Zhao. H., Li. Y., Zhu. Z., Lin. J., Tian. Z., Wang. R., Structural and electrochemical characteristics of  $\text{Li}_{4-x}\text{Al}_x\text{Ti}_5\text{O}_{12}$  as anode material for lithium-ion batteries, *Electrochimica Acta* 53 (2008) 7079-7083
- [4]. Yin. S.Y., Song. L., Wang. X.Y., Huang. Y.H., Zhang. K.L., Zhang. Y.X., Reversible lithium storage in  $\text{Na}_2\text{Li}_2\text{Ti}_6\text{O}_{14}$  as anode for lithium ion batteries, *Electrochimistri Communications* 11 (2009) 1251-1254
- [5]. Xiao. C.W., Ding. Y., Zhang. J.T., Su. X.Q., Li. G.R., Gao. X.P., Shen. P.W.,  $\text{Li}_{4-x}\text{Na}_x\text{Ti}_5\text{O}_{12}$  with low operation potential as anode for lithium ion batteries, *Journal of Power Sources* 248 (2014) 323-329
- [6]. Shen. C.M., Zhang. X.G., Zhou. Y.K., Li. H.L., Preparation and Characterization of Nanocrystalline  $\text{Li}_4\text{Ti}_5\text{O}_{12}$  by sol-gel method, *Materials Chemistry and Physics* 78 (2002) 437-441.
- [7]. Jeong. E.D., Han. H.J., Jung. O.S., Ha. M.G., Doh. C.H., Hwang. M.J., Yang. H.S., Hong. K.S., Characterizations and electrochemical performance of pure and metal-doped  $\text{Li}_4\text{Ti}_5\text{O}_{12}$  for anode materials of lithium-ion batteries
- [8]. Hatakeyama. T., Liu. X., *Handbook of Thermal Analysis*, John Wiley & Sons, New York
- [9]. P. Gabbott, Ed., *Principles and Applications of Thermal Analysis*, Blackwell, 2008